

累惯犯暴力态度的实证研究

关慕桢¹, 李晓京², 田步忍^{*}, 张宝平^{*}, 段卫杰^{*}, 田京^{*}, 闫虎^{*}, 苗丹民¹, 刘旭峰¹

(1.第四军医大学航空航天医学系心理学教研室,陕西 西安 710032;

2.第四军医大学航空航天医学系装备教研室,陕西 西安 710032)

【摘要】 目的:探讨累惯犯暴力态度特点及预测特征。方法:采用《FMMU 变态人格危险性评估问卷》测量累惯犯的外显暴力态度;内隐联想测验(IAT)和阈下态度启动模式(AAP)测量累惯犯的内隐暴力态度。结果:结果显示,部分累惯犯的内隐暴力态度发生了反转。据此,将累惯犯分为反转组和未反转组。两组都产生了显著的 IAT 效应和启动效应;且暴力维度分值显著高于常模。结论:直接测量的方法可以将累惯犯从正常的群体中区分。若结合间接测量的方法,可以细化累惯犯分类,为累惯犯个性化处遇提供有力的依据。

【关键词】 累惯犯;内隐联想测验;态度启动模式;FMMU 变态人格危险性评估问卷

中图分类号: R395.2

文献标识码: A

文章编号: 1005-3611(2010)03-0274-04

The Study on Violent Attitude of Recidivists

GUAN Mu-zhen, LI Xiao-jing, TIAN Bu-ren, ZHANG Bao-ping, et al

Department of Psychology, School of Aerospace Medicine, Fourth Military Medical University, Xi'an 71003, China

【Abstract】 Objective: To explore characteristic and violent attitude structure of recidivists. **Methods:** FMMU - Abnormal Personality Risk Factors Inventory (FMMU-APRI) was used to measure explicit attitude; as Implicit Association Test (IAT) and Attitude Activation Paradigm (AAP) were used to assess implicit attitude. **Results:** The results showed that implicit violent attitude had reversed effect in part of recidivists. According to reversed effect, the subjects were divided into no-reversal recidivists and reversal recidivists, each group had significant IAT effect and priming effect, while scores in VIO subscale were significantly higher than the normal. **Conclusion:** These results indicated that explicit measurement can distinguish recidivists from the normal, while implicit methods would categorize delicately, providing a strong evidence individually for treatment of recidivists.

【Key words】 Recidivists; Implicit association test; Attitude activation paradigm; FMMU Abnormal Personality Risk Factors Inventory

最初刑法上的累惯犯概念,以刑事古典学派的客观行为作为其理论基础,随着刑事实证学派的兴起,开始了从犯罪行为向犯罪人的转变,由此出现了以犯罪人的犯罪危险性人格为重点的累犯概念^[1],主要有行为中心论和行为人中心论的累犯概念之说^[2]。行为中心论从犯罪的直观形态如犯罪行为,以犯罪次数,犯罪发生时间,犯罪性质等客观事实作为累惯犯的决定性要素^[3,4]。行为人中心论强调累惯犯的构成条件,除了犯罪行为等客观要素外,还必须具备犯罪危险性人格及人身危险性状况等主观要素。以行为人为核心的暴力危险性评估成为预防犯罪,尤其是预防再犯罪,降低犯罪率的有效方法之一^[5,6]。

暴力的发生是许多风险因素共同作用的结果,而暴力态度可能是其中最重要的中介机制之一^[7],在暴力危险评估中起着重要作用^[8]。暴力态度是对暴力的积极或消极的反应倾向,通过个体对暴力行

为的评价,推断个体暴力态度的指向,进而评估个体的暴力危险性。对暴力态度的测量以问卷为主。1998年 Greenwald 等学者提出了一个新的研究领域:内隐社会认知(Implicit social cognition)^[9]。这一理论强调无意识在社会认知中的作用,并进而提出了内隐态度(Implicit Attitudes)的概念及测量方法^[10]。在此基础上, Wilson 和 Lindsey 等学者提出了双重态度模型理论(Dual Attitudes Model)。该理论认为人们对于同一客体可以同时存在两种不同的态度评价,外显态度和内隐态度^[11]。外显态度是处于意识状态下的态度,可以采用自我报告,问卷等直接测量的方法进行评估;内隐态度则是处于无意识状态下的态度,需要用间接的方法加以测量,如以反应时为指标的 attitude 启动模式,内隐联想测验,投射测验等等^[12]。

目前的研究多采用问卷的形式测量暴力态度,而暴力的内隐态度国内外都做的很少,尤其是测量累惯犯的内隐暴力态度就更少了。根据行为人中心论,累惯犯具备犯罪人格^[13],态度是人格动力系统的重要组成部分,并且暴力态度和暴力行为有显著的

【基金项目】 总政治部保卫部重大专项课题“应征青年反社会变态人格倾向心理检测系统研究”(ZZWB20060901)

通讯作者:苗丹民,刘旭峰

* 陕西省庄里监狱

正相关^[14],因此,暴力态度可能是值得探讨的一个方面。本研究从暴力态度着手,探讨暴力型累惯犯外显暴力态度和内隐暴力态度。

1 对象与方法

1.1 被试

陕西省某监狱男性累惯犯 67 名,均为暴力犯罪,被判处 12 年以上有期徒刑,文化程度为小学以上(含小学),年龄在 25-30 岁,平均年龄 26.22±1.63 岁。依据累惯犯的刑法学定义和特征,参照犯罪人的卷宗,按照各自的标准对罪犯进行分类。入组标准^[15]:①被判有期徒刑 2 次以上(不含 2 次);②实施犯罪有预谋,精心策划;③犯罪实施暴力手段;④强奸犯除外。全部罪犯均为第一次参加心理学实验,知情同意并愿意积极配合。

1.2 实验材料

实验中用 FMMU 变态人格危险性评估问卷(FMMU Abnormal Personality Risk Factors Inventory, FMMU-APRI)^[16]来测量外显态度。采用其中的冲动倾向(VIO)分量表来测量被试的外显暴力态度。

测量内隐态度的实验材料包括性格词语,行为图片。90 名大学生先根据词语褒贬程度对 200 个描述性格的词语进行 7 点评分,1 为非常消极,7 为非常积极。从中选出 10 个消极性格词语(M=1.91,SD=0.08)和 10 个积极性格的词语(M=6.35,SD=0.16)。由于罪犯的文化程度偏低,先请狱警随机抽查部分罪犯评价这 20 个词语,写出与之相近的词语,将原来的部分词语替换为罪犯易懂常用的词语(如蠢笨换成笨蛋)。

实验使用的图片从国际情绪图片系统中选取 100 张图片,50 张行为图片,50 张情绪图片,仍然请评词的 90 名大学生根据图片的暴力程度和积极程

度进行 7 点评分,两极分别为暴力行为(7)和非暴力行为(1),积极情绪(7)和消极情绪(1)。从中挑选出 10 张非暴力图片(M=1.40,SD=0.35)和 10 张暴力图片(M=6.18,SD=0.39);10 张正性情绪图片(M=6.63,SD=0.32),10 张负性情绪图片(M=1.07,SD=0.54)。

1.3 仪器

所有实验材料均以图片的方式呈现在计算机(17 寸 LG 液晶显示器,85Hz,分辨率(1024×768)屏幕中央,大小为 7cm×7cm,词语为白色,宋体,背景为黑色,图片分辨率为 215×161。被试距离计算机 56cm,相应视角约为 7°。用 NeuroScan STIM² 系统编程呈现。

1.4 程序

两组被试均采用 ABBA 设计安排被试进行实验的顺序,一半被试先进行 FMMU-APRI 问卷,再进行内隐联想测验(Implicit Association Test,IAT)和态度启动范式(Attitude Activation Paradigm,AAP),另一半顺序相反。

1.4.1 内隐联想测验程序 本研究采用 Greenwald^[17]设计的 IAT 实验程序,目标维度为描述行为的图片(如暴打,干掉,聊天,旅游等),联想属性维度为描述性格的词语(如开朗,自信,傲慢,愚蠢等),形成相容联合辨别(非暴力行为/积极性格;暴力行为/消极性格)和相反联合辨别(非暴力行为/消极性格;暴力行为/积极性格)两类任务,计算机随机呈现两类实验材料,被试根据屏幕上方的提示,按“F”键或“J”键对词语分类判断后,刺激消失或 2500ms 后自行进入下一个分类判断。一个 IAT 测验包括五个基本部分,为保证被试反应的稳定性,实际测验时将相容与相反联合辨别部分各重复一次,故共有七部分,实验中记录相容联合辨别(相容任务)和相反联合辨别(不相容任务)的反应时。详见表 1。

表 1 内隐联想测验(IAT)步骤

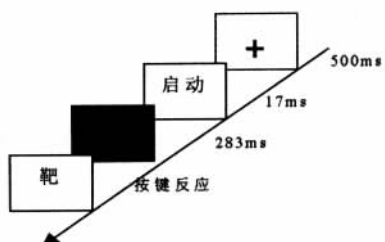
内容	测验顺序						
	1	2	3	4	5	6	7
任务描述	联想属性词 别	目标维度 别	相容联合 别	相容联合 别	目标维度 反相辨别	相反联合 别	相反联合 别
操作举例	开朗 ^a	聊天 ^a	开朗 ^a 聊天 ^a	开朗 ^a 聊天 ^a	暴打 ^a	开朗 ^a 暴打 ^a	开朗 ^a 暴打 ^a
	凶残 ^b	暴打 ^b	凶残 ^b 暴打 ^b	凶残 ^b 暴打 ^b	聊天 ^b	凶残 ^b 聊天 ^b	凶残 ^b 聊天 ^b

注:a 按 F 键; b 按 J 键

1.4.2 态度启动范式 态度启动模式采用经典的阈下启动范式^[18],其中行为图片为启动刺激,情绪图片为靶刺激。从被试选出的 20 张行为图片中随机选出 4 张暴力行为和 4 张非暴力行为的图片,20 张情

绪图片中随机选出 4 张正性情绪图片和 4 张负性情绪图片,分别作为练习的启动刺激和靶刺激,其余的图片做为正式实验材料。每一个测验先呈现“十”500ms,之后呈现启动刺激 17ms,283ms 黑屏(SOA

为 300ms)后呈现靶刺激,被试做出按键反应后靶刺激消失,或在 2500ms 后靶刺激自动消失,进入下一测验,如此循环。见附图。



附图 启动模式流程图

1.5 统计处理

IAT 数据处理:Greenwald 等在 2003 年提出新的 IAT 数据筛查标准^[17]:①如果一个被试的 IAT 中,10%以上的反应时超过 10000ms 或少于 300ms,则淘汰这个被试的数据;②错误的反应时用所在组的平均反应时加 600ms 来替代,以示惩罚;③每个实验的前 2 个测试不纳入结果分析;④测试的错误率超过 20%,则淘汰这个被试的数据。根据以上标准校正反应时或剔除被试数据,计算剩下的被试的相容任务反应时与不相容任务反应时的平均值,不相容任务反应时减去相容任务反应时即 IAT 效应,将数据对数转换后与 0 进行比较。

AAP 数据处理:删除错误的以及不在平均标准差内的反应时。以每一个人的启动刺激和靶刺激均为正性时的平均反应时为基准,其它的反应时除以这个平均反应时,得出的比率做为我们分析的数据。

2 结果

2.1 IAT 结果

根据 IAT 数据处理标准,累惯犯组中有 2 名被试在相反联合辨别中的 20% 的反应时超过 10000ms,有 3 名被试的错误率超过 20%,将这 5 名被试剔除,余下 62 名被试的数据处理后,相容任务反应时 $M=1201.18\text{ms}$, $SD=79.73$,不相容任务反应时 $M=1343.94\text{ms}$, $SD=80.06$,用不相容任务反应时减去相容任务反应时得出 IAT 效应, IAT 效应 = 142.76ms , $SD=52.94$, $t(61)=1.015$, $P>0.05$ 。累惯犯组未见显著的 IAT 效应。进一步分析结果发现,部分累惯犯出现了 IAT 反转效应,即不相容任务反应时短于相容任务反应时。累惯犯组有 22 人出现 IAT 反转,其余 40 人未见反转。按照是否出现了 IAT 效应的反转,将累惯犯进一步分为反转组与未反转组,分别进行 IAT 效应检验,结果可见,两组均产生了

显著的 IAT 效应。见表 2。

表 2 累惯犯中未反转与反转组的 IAT 效应比较

	相容(ms)		不相容(ms)		IAT 效应 (ms)		P
	M	SD	M	SD	M	SD	
未反转组(n=40)	1141.37	120.17	1483.85	105.68	342.48	85.56	<0.001
反转(n=22)	1389.48	187.80	1164.14	141.07	-225.34	93.26	<0.001

2.2 AAP 结果

根据 AAP 数据处理标准,有 5 名被试反应时都超过了 3000ms,有 4 名被试的错误率超过 20%,有 8 名被试在实验中左顾右盼,并未按要求做实验。计算保留累惯犯 50 名的反应时的比率做为我们分析的数据,我们将这些比率按照启动刺激属性(非暴力和暴力)×靶刺激属性(正性和负性)做随机效应方差分析(混合效应模型)。启动刺激产生主效应,即启动刺激属性有显著差异;靶刺激也产生主效应,可见靶刺激的属性差异越大,被试越容易对靶分类判断;启动刺激和靶刺激的交互作用没有显著性差异,即启动刺激的呈现并未影响到对靶刺激的判断,未见启动效应。累惯犯组中一致任务的反应时为 873ms, $SD=86.11$,反应率为 0.979,不一致任务的反应时 = 912ms, $SD=82.36$,反应率为 0.980,未见启动效应 ($P>0.05$)。

累惯犯组中一致与不一致的反应时相差不多,未见启动效应,分析结果发现在 AAP 中也出现了反转现象。有 21 人出现反转,而其余的 29 人未出现。将未反转和反转的数据分开,分别做启动刺激属性(非暴力和暴力)×靶刺激属性(正性和负性)的方差分析,发现每个组的启动刺激和靶刺激都有主效应,并且产生了显著的交互作用,累惯犯未反转组一致任务的反应率为 1.060,不一致任务的反应率是 1.118 ($P=0.034$),累惯犯反转组一致任务的反应率为 1.040,不一致任务的反应率是 0.999 ($P=0.048$)。启动刺激的属性影响到靶刺激的分类判断,当启动刺激属性与靶刺激的属性一致时,对靶的判断更快。正是因为很强的反转效应的存在,淹没了启动效应,累惯犯未反转组和反转组的启动效应均有显著差异 ($P<0.001$)。见表 3。

表 3 累惯犯中反转组和未反转组的方差分析结果

	启动刺激属性	靶刺激属性	启动×靶交互作用
	F	F	F
未反转	62.34***	48.26***	78.21***
反转	30.92***	63.25***	69.56***

注:*** $P<0.001$

2.3 FMMU-APRI

累惯犯组 FMMU-APRI 中冲动倾向(VIO)分量

表得分为 6.01, $SD=3.29$ 与常模 ($M=3.00, SD=2.54$) 有显著差异 ($P<0.05$)。IAT 中未反转累惯犯 VIO 分值为 6.15, $SD=3.67$, AAP 中未反转组累惯犯的 VIO 分值为 6.24, $SD=3.21$, 均与常模 ($M=3.00, SD=2.54$) 有显著性差异; IAT 中反转累惯犯 VIO 分值为 5.30, $SD=3.00$, AAP 中反转组累惯犯 VIO 分值为 4.91, $SD=2.73$, 也都与常模 ($M=3.00, SD=2.54$) 有显著性差异。

2.4 外显暴力态度和内隐暴力态度的相关

累惯犯在 IAT 和 AAP 中都出现了反转, 因此被试分为累惯犯未反转组和反转组。IAT 和 AAP 的原理虽然不同, 但都是间接测量的方法, 将 2 个组中 VIO 分值与 IAT 和 AAP 效应做相关, 探寻两者之间的关系, 结果显示 IAT 未反转组 ($r=-0.21$) 和 AAP 中未反转组 ($r=0.16$) 的相关系数未见显著性 ($P>0.05$), 内隐态度与外显态度出现了分离; 而 IAT 反转组 ($r=0.71$) 和 AAP 反转组 ($r=0.68$) 的相关系数有显著性 ($P<0.05$), 内隐态度与外显态度一致。

3 讨 论

3.1 累惯犯未反转组的外显与内隐暴力态度

累惯犯未反转组的 VIO 显著高于常模, 行为常常表现出暴力倾向性, 但是内隐态度却认为暴力“不好”。从我们的访谈中看到这一分离现象很可能来源于周围人对他们的评价, 周围的人都认为他们很残暴, 该被公安机关抓进去。他们曾经成为暴力犯罪人或者曾实施暴力行为后, 周围的人对其形成了刻板印象。利莫特的标签理论认为罪犯极可能受到来自他人或社会负面非难标签结果, 尤其在负面的连续责难下^[19], 犯罪人渐渐形成了投射认同, 认为自己就是别人眼中的那种人, 清楚了“我是谁”, 尽管这个认同有偏差, 但是这个认同会指导行为, 这类人知道“要做什么”^[20], 确信自己就像别人说的残暴, 冲动, 如果自制力差, 再接触偏差群体, 就会衍发偏差或犯罪行为。但这只是我们看到的行爲现象, 并不意味着他们的内在本质也是这样的, 而内隐暴力态度的结果恰恰证明了这一点。

3.2 累惯犯反转组的外显与内隐暴力态度

累惯犯反转组的 VIO 分值也与常模有显著差异, 但是内隐态度显示他们有暴力的倾向性。雷克利斯的犯罪学习理论认为外在的社会控制环境恶劣, 自身控制能力不强, 自我的认知偏差, 犯罪就容易发生, 犯罪常态化, 如果这类犯罪人没有脱离偏差群体, 身处在这个群体中, 耳濡目染, 对暴力的态度就可能发生偏移, 赞同暴力行为, 犯罪主观恶性变大, 人身危险性也变大。对于这样的群体, 在问卷中表现出自己的暴力行为, 这一点虽然与累惯犯未反转组无差异, 但是内隐暴力态度却显著不同, 主观恶性可

能增大。这类罪犯认为自己不过是跟着其他人的步伐在走而已, 没什么不对, 和朋友们不同的地方是被抓到。

参 考 文 献

- 1 谢应霞. 浅析累犯的概念. 中共郑州市委党校学报, 2006, 82(4): 119-120
- 2 马克昌. 刑罚通论. 武汉: 武汉大学出版社, 1999
- 3 沈玉忠. 累犯“三振出局”制度之探讨. 贵州大学学报, 2007, 25(3): 61-65
- 4 陈泽宪. 刑事法前沿. 北京: 中国人民公安大学出版社, 2004. 134
- 5 Houin CR. 罪犯评估与治疗手册必备手册. 北京: 中国轻工业出版社, 2000. 72
- 6 Steadman HJ, Silver E, John M, et al. A classification tree approach to the development of actuarial violence risk assessment tools. Law and Human Behavior, 2000, 1: 83-100
- 7 Anderson AC, Benjamin JA, Wood KP, Bonacci MA. Development and testing of the velicer attitudes toward violence scale: Evidence for a four-factor model. Aggressive Behavior, 2006, 32: 122-136
- 8 Funk J, Elliott R, Bechtoldt H. The attitudes toward violence scale. Journal of Interpersonal Violence, 2003, 18(2): 186-196
- 9 张陆, 佐斌, 叶娜. IAT 上的属性类别标签效应研究. 中国临床心理学杂志, 2009, 17(4): 454-456
- 10 梁宇建, 吴明证, 高旭成. 基于反应时范式的内隐社会认知研究方法. 心理科学, 2003, 26(2): 208-211
- 11 张林, 张向葵. 态度研究的新进展—双重态度模型. 心理学进展, 2003, 11(2): 171-176
- 12 Carolyn AS, Timothy OI, Terence PT. Adolescent maltreatment and its impact on young adult antisocial behavior. Child Abuse and Neglect, 2005(29): 1099-1119
- 13 于世忠. 惯犯问题的研究. 行政与法, 1994, 2: 42-45
- 14 Cowan NA, Owensl PA, McLloydl VP, Colin CR. Violent Behavior among South African Adolescents: A Study of the Risk and Protective Factors Preliminary Report, 2000. 10
- 15 高铭喧. 刑法学. 北京: 北京大学出版社, 1998. 196
- 16 肖利军. 中国士兵人格问卷的编制与应用. 博士学位论文, 2007. 49
- 17 Greenwald AG, Nosek BA, Banaji MR. Understanding and using the implicit association test: 1. An improved scoring algorithm. Journal of Personality and Social Psychology, 2003, 85: 197-215
- 18 Fazio RH, Sambonmatsu DM, Powell MC, et al. On the automatic activation of attitudes. Journal of Personality and Social Psychology, 1986, 50: 229-238
- 19 郭东. 理性犯罪决策—成本收益模型. 广西社会科学, 2007, 8: 84-88
- 20 Alexander JF. The criminal, the judge and the public. New York: Macmillan, 1931. 89

(收稿日期: 2009-10-20)